

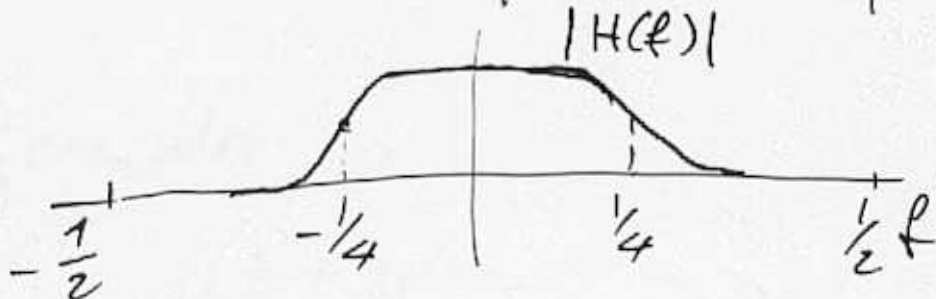
FIR Half-band

$N$  dispari numero di coefficienti  $D = \frac{N-1}{2}$

$$f_c = \frac{1}{4} \quad \omega_c = \frac{\pi}{2}$$

$$H(\omega) = |H(\omega)| e^{-j\omega D}$$

$$|H(\omega)| = 1 - |H(\pi - \omega)|$$



(ad esempio)

$$(-1)^n h(n) \leftrightarrow H(\omega - \pi)$$

$$(-1)^{-n} h(-n) \leftrightarrow H(\pi - \omega)$$

$$h(n) = h(N-1-n) \quad n = 0, 1, \dots, N-1$$

fase lineare

$$H(\omega) e^{j\omega D} = 1 - H(\pi - \omega) e^{j\pi D} e^{-j\omega D}$$

$$H(\omega) e^{j\omega D} + (-1)^D H(\pi - \omega) e^{-j\omega D} = 1$$

$$h(n+D) + (-1)^D (-1)^{-n+D} h(-n+D) = \delta(n)$$

$$n=0 \quad h(D) + h(D) = 1 \Rightarrow$$

$$\Rightarrow h\left(\frac{N-1}{2}\right) = \frac{1}{2}$$

$$n=1 \Rightarrow h(D+1) - h(D-1) = 0 \quad \begin{matrix} \text{simmetria} \\ (\text{già noto}) \end{matrix}$$

$$n=2 \Rightarrow h(D+2) + h(D-2) = 0$$

$$\text{inoltre } h(D+2) = h(D-2)$$

$$\Rightarrow h(D+2) = h(D-2) = 0$$

In generale

$$h(D+2r) = 0 \quad r \text{ intero}$$

Inoltre

$$D \text{ pari} \Rightarrow h(0) = h(N-1) = 0$$

$$D \text{ dispari} \Rightarrow h(0) = h(N-1) \neq 0 \quad \begin{matrix} \text{in} \\ \text{generale} \end{matrix}$$

Valutiamo il numero di moltiplicazioni necessarie per filtrare un segnale con  $h(n)$  half-band nel caso  $N = 4P+1$

$$D = \frac{N-1}{2} = 2P \quad \text{è pari}$$

Ho soltanto  $2P+1$  coefficienti non nulli  
( $P+1$ ) moltiplicazioni, sfruttando la simmetria.

# FFT : Decimazione in frequenza

Divisione delle sequenze in uscita

$$N = 2^v$$

$$W_N = e^{-j \frac{2\pi}{N}}$$

$$\begin{aligned} X(k) &= \sum_{n=0}^{N-1} x(n) W_N^{kn} = \sum_{n=0}^{N/2-1} x(n) W_N^{kn} + \sum_{n=N/2}^{N-1} x(n) W_N^{kn} \\ &= \sum_{n=0}^{N/2-1} x(n) W_N^{kn} + W_N^{\frac{N}{2}k} \sum_{n=0}^{\frac{N}{2}-1} x(n + \frac{N}{2}) W_N^{kn} \\ &\quad \text{(-1)}^k \end{aligned}$$

$k$  pari,  $k$  dispari

$$X(2r) = \sum_{n=0}^{\frac{N}{2}-1} [x(n) + x(n + \frac{N}{2})] W_N^{ern} \quad r = 0, 1, -\frac{N}{2}-1$$

DFT su  $\frac{N}{2}$  punti

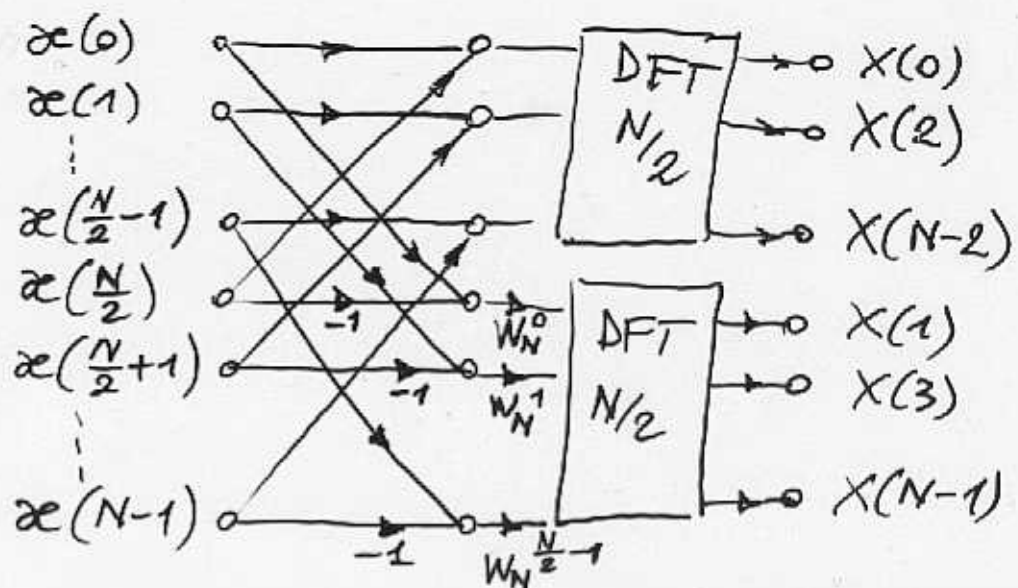
$$X(2r+1) = \sum_{n=0}^{\frac{N}{2}-1} [x(n) - x(n + \frac{N}{2})] W_N^{ern} \quad r = 0, 1, -\frac{N}{2}-1$$

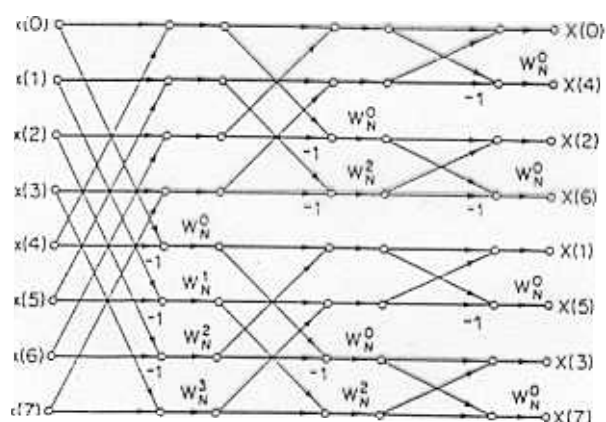
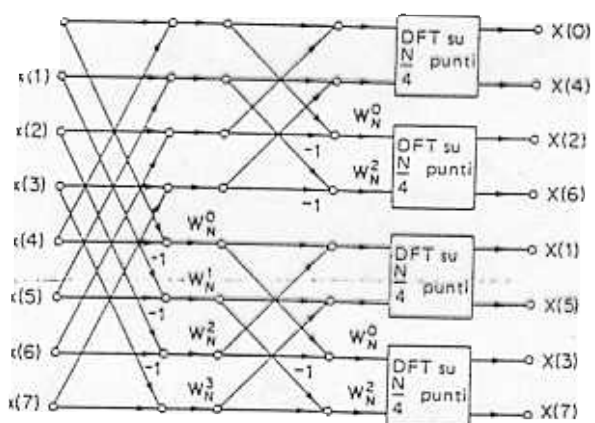
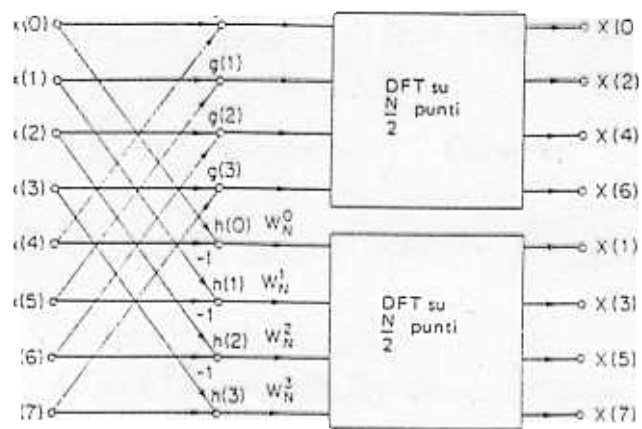
DFT su  $\frac{N}{2}$  punti

$$r = 0, 1, -\frac{N}{2}-1$$

Caso  $N = 8$

Tre stadi



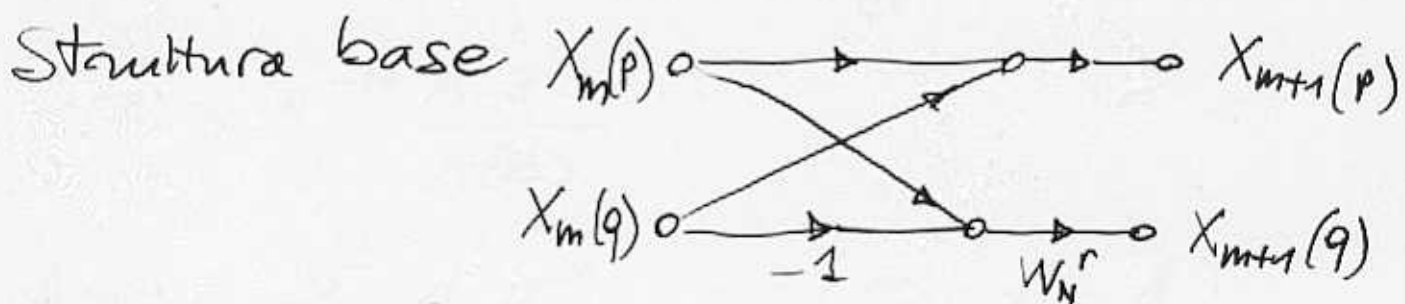


$$N = 2^r$$

y stadi

Risparmio in termini di numero di moltiplicazioni complesse, come nel caso della decimazione nel tempo.

$$\frac{N}{2} \log_2 N \text{ moltiplicazioni complesse.}$$



Ingressi ordinati, uscite con ordinamento a bit invertiti

Oppure, in alternativa,  
Ridefinizione  
dello schema



## Filtri di Chebyshev

tipo I minimizzano l'errore di picco  
(sono equiripple) in banda passante

tipo II minimizzano l'errore di picco  
(sono equiripple) in banda attenuata

Tipo I.

$$|H(\omega)|^2 = \frac{1}{1 + \epsilon^2 T_N^2(\omega/\omega_c)}$$

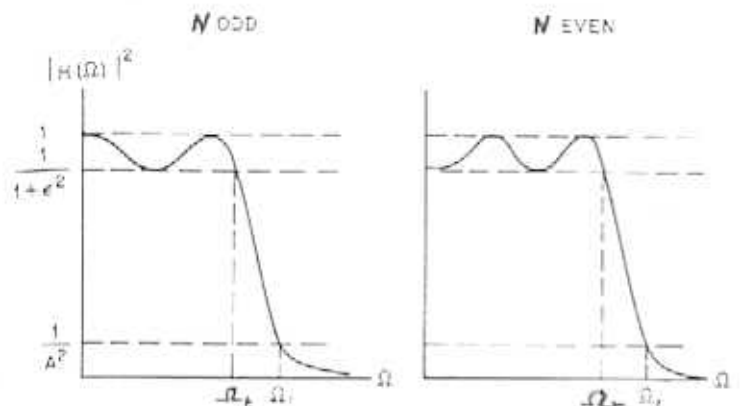
dove  $T_N(\omega)$  è il polinomio di Chebyshev  
di ordine  $N$

$$T_N(\omega) = \begin{cases} \cos(N \cos^{-1}\omega) & |\omega| \leq 1 \\ \cosh(N \cosh^{-1}\omega) & |\omega| > 1 \end{cases}$$

Si ricordi che  $\cosh(\alpha) = \frac{e^\alpha + e^{-\alpha}}{2}$

$$\cosh^{-1}(\omega) = \ln(\omega \pm \sqrt{\omega^2 - 1})$$

Nell'espressione di  $|H(\omega)|^2$ , noi consideriamo i casi  $0 < \omega \leq 1$  e  $\omega > 1$  e scegliamo il segno positivo in  $\cosh^{-1}(\omega)$ .



(4.84)

guaranteed to be Chebyshev filters) round  $\Omega = 0$ ) comprised of zeros. The squared-magnitude is given in the form

(4.84)

attains a pre-determined value or Chebyshev passband edge and the stopband edge requirements are simple

(4.85)

(4.86)

(4.87)

(4.88)

(4.89)

y.) The poles of the denominator

CHEBYSHEV TYPE II

Fig. 4.18 Magnitude-squared responses of analog Chebyshev filters.

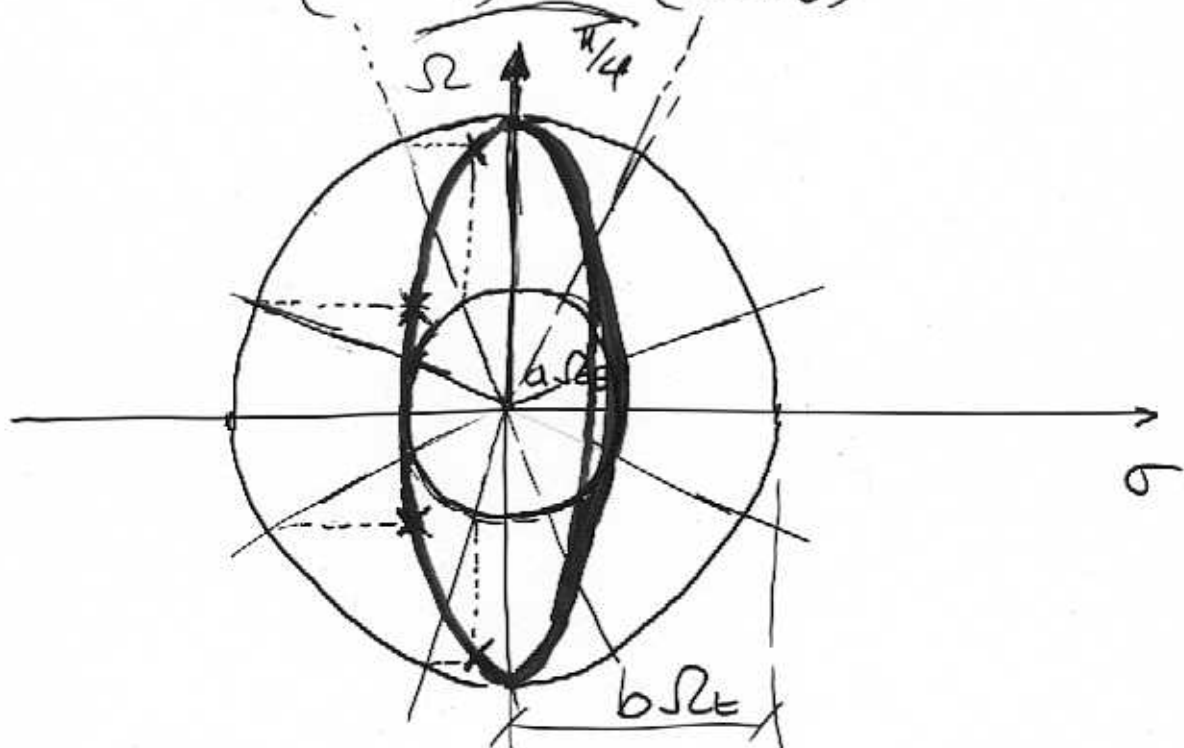
$$|H(\Omega_t)|^2 = \frac{1}{1 + \varepsilon^2 T_N^2(1)} = \frac{1}{1 + \varepsilon^2} \quad \text{per } N$$

(in generale non vale  $\frac{1}{2}$ )

I poli sono semplici e si trovano su un'ellisse del piano  $S$

$2N$  poli di  $H_a(s) H_a(-s)$  :  $s_k = \sigma_k + j \omega_k$   
 $k = 0, 1, \dots, 2N-1$

Ellisse :  $\frac{\sigma_k^2}{(a \omega_t)^2} + \frac{\omega_k^2}{(b \omega_t)^2} = 1$



Caso  $N = 4$

Calcolo di  $a$  e  $b$ .

Detto  $d = \varepsilon^{-1} + \sqrt{1+\varepsilon^{-2}}$

$$\Rightarrow \left\{ \begin{array}{l} a = \frac{1}{2} (d^{\frac{1}{N}} - d^{-\frac{1}{N}}) \\ b = \frac{1}{2} (d^{\frac{1}{N}} + d^{-\frac{1}{N}}) \end{array} \right.$$

Come per i filtri di Butterworth, si ha

$N$  pari  $\Rightarrow$  no poli reali

$N$  dispari  $\Rightarrow$  un polo sull'asse reale  
per  $H_0(s)$ .

PROGETTO CHEBYSHEV TIPO I

Specifiche sul filtro numerico

$\omega_p, \omega_s, A_p, A_s$  (Attenuazioni  
 $A_p, A_s > 0$ )

Trovare  $N$  minimo,  $\varepsilon$  e  $s_{re}$  del  
filtro analogico per rispettare le  
specifiche sul filtro numerico

1) Caso invarianza all'impulso e  $T=1$

$$\Rightarrow \Omega_p = \omega_p, \Omega_s = \omega_s \text{ (numericamente)}$$

Caso trasf. bilineare e  $T=1$

$$\Rightarrow \Omega_p = 2 \operatorname{tg}\left(\frac{\omega_p}{2}\right), \Omega_s = 2 \operatorname{tg}\left(\frac{\omega_s}{2}\right)$$

2) Fisso  $\Omega_t = \Omega_p \Rightarrow |H(\Omega_p)|^2 = \frac{1}{1+\epsilon^2} T_N$

3)  $10 \log_{10} |H(\Omega_p)|^2 = 10 \log_{10} \frac{1}{1+\epsilon^2} \geq -A_p$

⊗  $10 \log_{10} |H(\Omega_s)|^2 \leq -A_s$

4) Dalla prima espressione, posto il segno di uguaglianza, calcolo  $\epsilon = \sqrt{10^{A_p/10} - 1}$

5) Calcolo  $\alpha = \epsilon^{-1} + \sqrt{1+\epsilon^{-2}}$

6) Dall'uguaglianza in bande attenuatorie

$$|H(\Omega_s)|^2 = \frac{1}{1+\epsilon^2 T_N^2 (\Omega_s/\Omega_p)} = 10^{-A_s/10}$$

$\Rightarrow$  si trova il minimo N intero  
che soddisfa la ⊗

7) Si ricavano  $a$  e  $b$ , da cui i poli

8)  $H_a(s) \rightarrow H(z)$  e VERIFICA.

Chebyshov di tipo II

$$|H_a(\omega)|^2 = \frac{1}{1 + \epsilon^2 \left[ T_N(\omega_s/\omega_c) / T_N(\omega_p/\omega) \right]^2}$$

— —

Filtri ellittici

$$|H_a(\omega)|^2 = \frac{1}{1 + \epsilon^2 R_N^2(\omega, \omega_c)}$$

$R_N(\omega, \omega_c)$  funzione ellittica di Jacobi  
(o funzione razionale di Chebyshov)  
di ordine  $N$

In figura, caso  $N=5$

$$\begin{aligned} 1 &\leftrightarrow \omega_p \\ \omega_c &\leftrightarrow \omega_s \end{aligned}$$

Filtri con zeri, oltre che con poli.

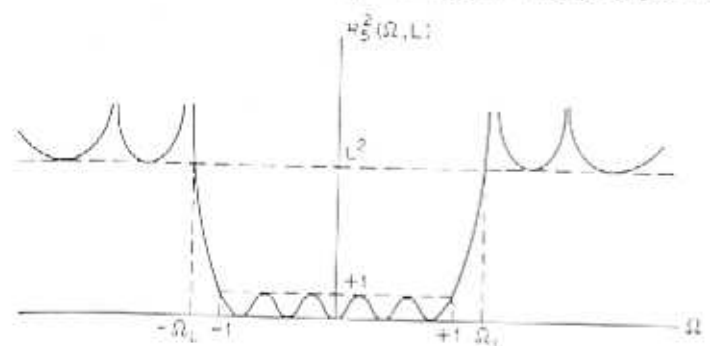


Fig. 4.21 Chebyshev rational function.

# Filtri passa-tutto (ap)

$$|H(\omega)| = 1 \quad \forall \omega$$

Esempio semplice  $H(z) = z^{-k}$

$H(z)$  funzione razionale (rapporto di polinomi)  
in  $z$  ( $z^{-1}$ )

Ipotesi: coefficienti reali.  $\otimes$

Consideriamo:

$$H(z) = z^{-N} \frac{A(z^{-1})}{A(z)}$$

$$A(z) = \sum_{n=0}^N a_n z^{-n} \quad (\text{con } a_0 = 1)$$

$$\begin{aligned} |H(\omega)|^e &= H(z) H(z^{-1}) \Big|_{z=e^{j\omega}} = \\ &= z^{-N} \frac{A(z^{-1})}{A(z)} z^N \frac{A(z)}{A(z^{-1})} = 1 \end{aligned}$$

Se  $z_0$  è uno di zero di  $H(z)$

$$\Rightarrow A\left(\frac{1}{z_0}\right) = 0 \Rightarrow \frac{1}{z_0} \text{ è un polo di } H(z)$$

Coppe poli-zeri reciproci

Elemento base di  $H_{ap}(z)$  in forma fattorizzata

$$H_{ap_1}(z) = \frac{z^{-1} - \beta_k}{1 - \beta_k^* z^{-1}}$$

Infatti..

$$H_{AP}(z) = \prod_{k=1}^{N_R} \frac{z^{-1} - d_k}{1 - d_k z^{-1}} \quad \prod_{k=1}^{N_C} \frac{(z^{-1} - \beta_k)(z^{-1} - \beta_k^*)}{(1 - \beta_k z^{-1})(1 - \beta_k^* z^{-1})}$$

$$\begin{cases} -1 < d_k < 1 \\ |\beta_k| < 1 \end{cases}$$

$$H_{AP_1}(z) = \frac{z^{-1} - \beta_k}{1 - \beta_k^* z^{-1}} \quad \beta_k = r e^{-j\theta}$$

$$H_{AP_1}(\omega) = \frac{e^{-j\omega} - r e^{-j\theta}}{1 - r e^{j\theta} e^{-j\omega}} = e^{-j\omega} \frac{1 - r e^{j(\omega-\theta)}}{1 - r e^{-j(\omega-\theta)}}$$

$$\Rightarrow \varphi_{AP_1}(\omega) = -\omega - \arctg \frac{r \sin(\omega-\theta)}{1 - r \cos(\omega-\theta)} +$$

$$- \arctg \frac{r \sin(\omega-\theta)}{1 - r \cos(\omega-\theta)} =$$

$$= -\omega - 2 \arctg \frac{r \sin(\omega-\theta)}{1 - r \cos(\omega-\theta)}$$

RITARDO DI GRUPPO

$$\Rightarrow \gamma_{AP_1}(\omega) = - \frac{d \varphi_{AP_1}(\omega)}{d\omega} = \frac{1 - r^2}{1 + r^2 - 2r \cos(\omega-\theta)}$$

Per un sistema causale e stabile si ha  $0 < r < 1$

$$\Rightarrow \gamma(\omega) \geq 0$$

Nella forma generale  $H_{AP}(\omega)$

si avrà ancora  $\gamma(\omega) \geq 0$

■ Sistemi a fase minima, a fase massima,  
a fase mista ■

Consideriamo un FIR di ordine M

M zeri  $z_1, z_2, \dots, z_M$

Lunghezza M+1

Studiamo gli effetti della posizione degli zeri:  
rispetto al cerchio unitario -

Coeff. reali  $\Rightarrow$  zeri reali e/o coprie compl. con.

$$H(\omega) = b_0 (1 - z_1 e^{-j\omega})(1 - z_2 e^{-j\omega}) \dots (1 - z_M e^{-j\omega})$$

$b_0 > 0$  senza perdere generalità.

caso  $M=1$ , unico zero reale  $z_1 = \alpha$  ( $b_0 = 1$ )

$$H_1(\omega) = 1 - \alpha e^{-j\omega} \quad \varphi_1(\omega) = \angle H_1(\omega)$$

Valutiamo  $\varphi_1(\pi) - \varphi_1(0)$

Poiché  $H_1(\pi) = 1 + \alpha$   $\Rightarrow$   
 $H_1(0) = 1 - \alpha$

$$\Rightarrow \varphi_1(\pi) - \varphi_1(0) = \begin{cases} 0 & |\alpha| < 1 \\ -\frac{\pi}{2} & \alpha = \pm 1 \\ \pi & |\alpha| > 1 \end{cases}$$

caso limite

Cambio di fase nullo tra  $\theta$  e  $\bar{\theta}$   
 $\Rightarrow$  sistema a fase minima

Cambio di fase  $\pi$  tra  $\theta$  e  $\bar{\theta}$   
 $\Rightarrow$  sistema a fase massima

Estensione al caso generale con  $M$  zeri  $z_i$ :  
 $|z_i| < 1 \forall i$  (anche per gli zeri complessi)

$\Rightarrow$  somma delle fas:

$\Rightarrow$  Cambio globale di fase tra  $\theta$  e  $\bar{\theta}$  è nullo

$\Rightarrow$  sistema a fase minima

Un singolo zero  $z_0 \in \mathbb{R}$   $|z_0| > 1$  contribuisce  
al salto di  $\pi$  della fase tra  $\theta$  e  $\bar{\theta}$

La coppia  $z_k, z_k^*$  con  $|z_k| > 1$   
contribuisce al salto di  $2\pi$

Se abbiamo tutti gli zeri esterni al cerchio  
unitario, allora  $\angle H(\bar{\theta}) - \angle H(\theta) = M\pi$   
e il sistema è a fase massima.

## Situazione intermedia

Zeri  $\rightarrow$  alcuni interni  
 $\rightarrow$  alcuni esterni al cerchio unitario

$\Rightarrow$  sistema a fase mista  
(o a fase non minima)

---

$$\text{Valutiamo } \tau(\omega) = -\frac{d\phi(\omega)}{d\omega}$$

Misura il ritardo temporale che la componente alla frequenza  $\omega$  del segnale subisce passando attraverso il sistema  $\Rightarrow$

$\Rightarrow$  sistema a fase minima introduce il ritardo minimo.

---

Dato un qualunque FIR a coefficienti reali:

$$|H(\omega)|^2 = H(z)H(z^{-1}) \Big|_{z=e^{j\omega}} \quad (\text{ORDINE } M)$$

Sostituendo  $z_k$  con  $\frac{1}{z_k}$ , la risposta in ampiezza non cambia.

$M$  zeri  $\Rightarrow 2^M$  possibili configurazioni di posizioni degli  $M$  zeri:

DENTRO / FUORI CERCHIO UNITARIO

$2^M$  Configurazioni  $\rightarrow$  1 config. con tutti i zeri interni  
 $2^M$  Configurazioni  $\rightarrow$  1 config. " " esterni  
 $2^M - 2$  config. miste.

⎧ 1 configurazione  $\Rightarrow$  fase minima  
 ⎧ 1 config.  $\Rightarrow$  fase massima  
 tutte le altre config.  $\Rightarrow$  fase mista

Si noti che una coppia di zeri reali ha 4 possibili configurazioni:

$\begin{matrix} dd \\ df \\ fd \\ ff \end{matrix}$

Mentre una coppia di zeri complessi coniugati ha 2 possibili configurazioni:

Consideriamo un IIR stabile e causale

$H(z) = \frac{B(z)}{A(z)}$      
 fase minima: poli e zeri interni  
 fase massima: zeri esterni, poli interni  
 fase mista: alcuni zeri interni  
 alcuni zeri esterni  
 poli interni

IIR stabile a fase minima  $\Rightarrow$  ha inverso stabile

$$H^{-1}(z) = \frac{A(z)}{B(z)} \text{ a } \underline{\text{fase minima}}$$

IIR stabile a fase non minima  $\Rightarrow$  non ha sistema inverso stabile

## Scomposizione di $H(z)$ a fase non minima

$H(z) = \frac{B(z)}{A(z)}$  causale stabile con almeno uno zero esterno al cerchio unitario

$$B(z) = B_1(z) B_2(z)$$

Il polinomio  $B_1(z)$  ha radici interne al cerchio unitario

Il polinomio  $B_2(z)$  ha radici esterne al cerchio unitario.

$\Rightarrow B_2(z^{-1})$  ha radici interne al cerchio unitario.

Per definizione  $H_{min}(z) \triangleq \frac{B_1(z) B_2(z^{-1})}{A(z)} \cdot z^{-N_e}$

$$H_{ap}(z) = \frac{B_2(z)}{B_2(z^{-1}) \cdot z^{-N_e}}$$

Stabile

eventuale termine  $z^{-N_e}$  per la causalità di  $H_{min}(z)$

Dunque  $H(z) = H_{min}(z) \cdot H_{ap}(z)$

$$\gamma_g(\omega) = \gamma_g^{min}(\omega) + \gamma_g^{ap}(\omega)$$

per  $0 \leq \omega \leq \pi$   $\gamma_g^{ap}(\omega) \geq 0$  (già dimostrato)

$$\Rightarrow \gamma_g(\omega) \geq \gamma_g^{min}(\omega)$$

Tra tutti i sistemi con la stessa risposta in ampiezza, il sistema a fase minima ha il minimo ritardo di gruppo

$$\text{Definiamo } E(n) = \sum_{k=0}^n |h(k)|^2$$

l'energia parziale del sistema -

Tra tutti gli  $H(z)$  con la stessa risposta in ampiezza, quello a fase minima ha l'energia parziale maggiore.

$E^{\min}(n) \geq E(n)$  tra tutti gli  $H(z)$   
con uguale  $|H(\omega)|$

---